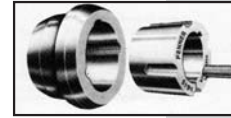


## 5.1 Taper Lock<sup>®</sup>-Spannbuchsen



## 5.2 Taper Lock<sup>®</sup>-Einschweißnaben



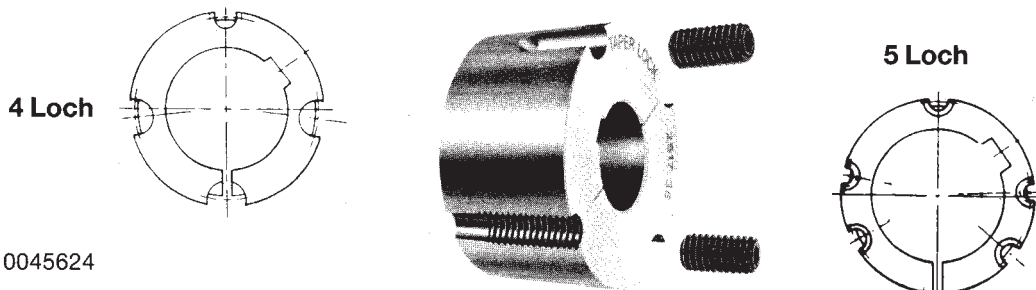
## 5.3 Taper Lock<sup>®</sup>-Anschraubnaben



Buchsen-Nr.	Bohrung Zoll				Nutabmessung			
					Breite		Tiefe	
1008	$\frac{3}{8}$	$\frac{1}{2}$			$\frac{1}{8}$	$\frac{3}{16}$	$\frac{1}{16}$	$\frac{3}{32}$
	$\frac{5}{8}$	$\frac{3}{4}$			$\frac{1}{4}$	$\frac{1}{4}$	$\frac{1}{8}$	$\frac{1}{16}$ *
	$\frac{7}{8}$	1						
1108	$\frac{3}{8}$	$\frac{1}{2}$			$\frac{1}{8}$	$\frac{3}{16}$	$\frac{1}{16}$	$\frac{3}{32}$
	$\frac{5}{8}$	$\frac{3}{4}$			$\frac{1}{4}$	$\frac{3}{16}$	$\frac{1}{8}$	$\frac{3}{32}$
	$\frac{7}{8}$	1				$\frac{5}{16}$	$\frac{1}{8}$	$\frac{5}{64}$ *
		$\frac{1}{8}$						
1210	$\frac{5}{8}$	$\frac{1}{2}$			$\frac{1}{8}$	$\frac{3}{16}$	$\frac{1}{16}$	$\frac{3}{32}$
	$\frac{7}{8}$	$\frac{3}{4}$			$\frac{1}{4}$	$\frac{3}{16}$	$\frac{1}{8}$	$\frac{3}{32}$
	$\frac{1}{8}$	1				$\frac{5}{16}$	$\frac{1}{8}$	$\frac{1}{8}$
	$1\frac{1}{8}$	$1\frac{1}{4}$						
1610	$\frac{5}{8}$	$\frac{1}{2}$			$\frac{1}{8}$	$\frac{3}{16}$	$\frac{1}{16}$	$\frac{3}{32}$
	$\frac{7}{8}$	$\frac{3}{4}$			$\frac{1}{4}$	$\frac{3}{16}$	$\frac{1}{8}$	$\frac{3}{32}$
	$1\frac{1}{8}$	1				$\frac{5}{16}$	$\frac{1}{8}$	$\frac{1}{8}$
	$1\frac{3}{8}$	$1\frac{1}{4}$			$\frac{3}{8}$	$\frac{5}{16}$	$\frac{1}{8}$	$\frac{1}{8}$
		$1\frac{1}{2}$				$\frac{7}{16}$	$\frac{1}{8}$	$\frac{5}{32}$
1615	$\frac{5}{8}$	$\frac{1}{2}$			$\frac{1}{8}$	$\frac{3}{16}$	$\frac{1}{16}$	$\frac{3}{32}$
	$\frac{7}{8}$	$\frac{3}{4}$			$\frac{1}{4}$	$\frac{3}{16}$	$\frac{1}{8}$	$\frac{3}{32}$
	$1\frac{1}{8}$	1				$\frac{5}{16}$	$\frac{1}{8}$	$\frac{1}{8}$
	$1\frac{3}{8}$	$1\frac{1}{4}$			$\frac{3}{8}$	$\frac{5}{16}$	$\frac{1}{8}$	$\frac{1}{8}$
		$1\frac{1}{2}$				$\frac{7}{16}$	$\frac{1}{8}$	$\frac{1}{8}$
2012	$\frac{7}{8}$	$\frac{3}{4}$			$\frac{3}{16}$	$\frac{1}{4}$	$\frac{3}{32}$	$\frac{1}{8}$
	$1\frac{1}{8}$	1			$\frac{5}{16}$	$\frac{1}{4}$	$\frac{1}{8}$	$\frac{1}{8}$
	$1\frac{3}{8}$	$1\frac{1}{4}$				$\frac{3}{8}$	$\frac{1}{8}$	$\frac{1}{8}$
	$1\frac{5}{8}$	$1\frac{1}{2}$			$\frac{7}{16}$	$\frac{3}{8}$	$\frac{5}{32}$	$\frac{1}{8}$
	$1\frac{7}{8}$	$1\frac{3}{4}$				$\frac{1}{2}$	$\frac{5}{32}$	$\frac{5}{32}$
		2						
2517	$\frac{7}{8}$	$\frac{3}{4}$			$\frac{3}{16}$	$\frac{1}{4}$	$\frac{3}{32}$	$\frac{1}{8}$
	$1\frac{1}{8}$	1			$\frac{5}{16}$	$\frac{1}{4}$	$\frac{1}{8}$	$\frac{1}{8}$
	$1\frac{3}{8}$	$1\frac{1}{4}$				$\frac{3}{8}$	$\frac{5}{32}$	$\frac{1}{8}$
	$1\frac{5}{8}$	$1\frac{1}{2}$			$\frac{7}{16}$	$\frac{3}{8}$	$\frac{5}{32}$	$\frac{1}{8}$
	$1\frac{7}{8}$	$1\frac{3}{4}$				$\frac{1}{2}$	$\frac{5}{32}$	$\frac{5}{32}$
	$2\frac{1}{8}$	2			$\frac{5}{8}$	$\frac{1}{2}$	$\frac{7}{32}$	$\frac{5}{32}$
	$2\frac{1}{8}$	$2\frac{1}{4}$				$\frac{5}{8}$	$\frac{7}{32}$	$\frac{7}{32}$
	$2\frac{3}{8}$	$2\frac{1}{2}$				$\frac{5}{8}$	$\frac{7}{32}$	$\frac{7}{32}$
3020 und 3030	$1\frac{3}{8}$	$1\frac{1}{4}$			$\frac{3}{8}$	$\frac{5}{16}$	$\frac{1}{8}$	$\frac{1}{8}$
	$1\frac{5}{8}$	$1\frac{1}{2}$				$\frac{7}{16}$	$\frac{1}{8}$	$\frac{5}{32}$
	$1\frac{7}{8}$	$1\frac{3}{4}$			$\frac{1}{2}$	$\frac{7}{16}$	$\frac{5}{32}$	$\frac{5}{32}$
	$2\frac{1}{8}$	2				$\frac{5}{8}$	$\frac{5}{32}$	$\frac{7}{32}$
	$2\frac{5}{8}$	$2\frac{1}{2}$			$\frac{3}{4}$	$\frac{5}{8}$	$\frac{1}{4}$	$\frac{7}{32}$
3525	$1\frac{5}{8}$	$1\frac{1}{2}$			$\frac{7}{16}$	$\frac{3}{8}$	$\frac{5}{32}$	$\frac{1}{8}$
	$1\frac{7}{8}$	$1\frac{3}{4}$				$\frac{1}{2}$	$\frac{5}{32}$	$\frac{5}{32}$
	$2\frac{1}{8}$	2			$\frac{5}{8}$	$\frac{1}{2}$	$\frac{7}{32}$	$\frac{5}{32}$
	$2\frac{5}{8}$	$2\frac{1}{4}$	$\frac{23}{8}$	$2\frac{1}{2}$		$\frac{3}{4}$	$\frac{7}{32}$	$\frac{1}{4}$
	$3\frac{1}{8}$	$2\frac{3}{4}$	$2\frac{7}{8}$	3	$\frac{7}{8}$	$\frac{3}{4}$	$\frac{5}{16}$	$\frac{1}{4}$
		$3\frac{1}{4}$	$3\frac{3}{8}$	$3\frac{1}{2}$		1	$\frac{7}{32}$	$\frac{5}{16}$ *
		$3\frac{3}{4}$	$3\frac{3}{4}$	4		1	$\frac{7}{32}$ *	$\frac{5}{16}$ *
3535	$1\frac{5}{8}$	$1\frac{1}{2}$			$\frac{7}{16}$	$\frac{3}{8}$	$\frac{5}{32}$	$\frac{1}{8}$
	$1\frac{7}{8}$	$1\frac{3}{4}$				$\frac{1}{2}$	$\frac{5}{32}$	$\frac{5}{32}$
	$2\frac{1}{8}$	2			$\frac{5}{8}$	$\frac{1}{2}$	$\frac{7}{32}$	$\frac{1}{4}$
	$2\frac{5}{8}$	$2\frac{1}{4}$	$\frac{23}{8}$	$2\frac{1}{2}$	$\frac{7}{8}$	$\frac{3}{4}$	$\frac{5}{16}$	$\frac{1}{4}$
	$3\frac{1}{8}$	$2\frac{3}{4}$	$2\frac{7}{8}$	3		1	$\frac{5}{16}$	$\frac{1}{4}$
4030	$1\frac{7}{8}$	$1\frac{3}{4}$			$\frac{7}{16}$	$\frac{1}{2}$	$\frac{5}{32}$	$\frac{5}{32}$
	$2\frac{1}{8}$	2				$\frac{1}{2}$	$\frac{7}{32}$	$\frac{5}{32}$
	$2\frac{5}{8}$	$2\frac{1}{4}$	$\frac{23}{8}$	$2\frac{1}{2}$	$\frac{5}{8}$	$\frac{1}{2}$	$\frac{7}{32}$	$\frac{1}{4}$
	$3\frac{1}{8}$	$2\frac{3}{4}$	$2\frac{7}{8}$	3	$\frac{7}{8}$	$\frac{3}{4}$	$\frac{5}{16}$	$\frac{1}{4}$
		$3\frac{1}{4}$	$3\frac{3}{8}$	$3\frac{1}{2}$		1	$\frac{7}{16}$	$\frac{3}{8}$
		$3\frac{3}{4}$	$3\frac{3}{4}$	4		1	$\frac{7}{16}$	$\frac{11}{32}$ *
4040	$1\frac{7}{8}$	$1\frac{3}{4}$			$\frac{7}{16}$	$\frac{1}{2}$	$\frac{5}{32}$	$\frac{5}{32}$
	$2\frac{1}{8}$	2				$\frac{1}{2}$	$\frac{7}{32}$	$\frac{5}{32}$
	$2\frac{5}{8}$	$2\frac{1}{4}$	$\frac{23}{8}$	$2\frac{1}{2}$	$\frac{5}{8}$	$\frac{1}{2}$	$\frac{7}{32}$	$\frac{1}{4}$
	$3\frac{1}{8}$	$2\frac{3}{4}$	$2\frac{7}{8}$	3	$\frac{7}{8}$	$\frac{3}{4}$	$\frac{5}{16}$	$\frac{1}{4}$
		$3\frac{1}{4}$	$3\frac{3}{8}$	$3\frac{1}{2}$		1	$\frac{5}{16}$	$\frac{3}{8}$
4535	$2\frac{5}{8}$	$2\frac{1}{4}$	$\frac{23}{8}$	$2\frac{1}{2}$	$\frac{5}{8}$	$\frac{3}{4}$	$\frac{7}{32}$	$\frac{1}{4}$
	$3\frac{1}{8}$	$2\frac{3}{4}$	$2\frac{7}{8}$	3	$\frac{7}{8}$	$\frac{3}{4}$	$\frac{5}{16}$	$\frac{1}{4}$
		$3\frac{1}{4}$	$3\frac{3}{8}$	$3\frac{1}{2}$		1	$\frac{5}{16}$	$\frac{3}{8}$
		$3\frac{3}{4}$	4			1	$\frac{7}{16}$	$\frac{3}{8}$
	$4\frac{1}{4}$	$4\frac{1}{2}$	$4\frac{3}{4}$		$1\frac{1}{4}$	$1\frac{1}{4}$	$\frac{7}{16}$	$\frac{11}{32}$ *
4545	$2\frac{5}{8}$	$2\frac{1}{4}$	$\frac{23}{8}$	$2\frac{1}{2}$	$\frac{5}{8}$	$\frac{3}{4}$	$\frac{7}{32}$	$\frac{1}{4}$
	$3\frac{1}{8}$	$2\frac{3}{4}$	$2\frac{7}{8}$	3	$\frac{7}{8}$	$\frac{3}{4}$	$\frac{5}{16}$	$\frac{1}{4}$
		$3\frac{1}{4}$	$3\frac{3}{8}$	$3\frac{1}{2}$		1	$\frac{5}{16}$	$\frac{3}{8}$
		$3\frac{3}{4}$	4		$1\frac{1}{4}$	1	$\frac{7}{16}$	$\frac{3}{8}$
5040 und 5050	$2\frac{3}{4}$	$2\frac{1}{8}$	3		$\frac{3}{4}$	$\frac{7}{8}$	$\frac{1}{4}$	$\frac{5}{16}$
	$3\frac{1}{4}$	$3\frac{3}{8}$	$3\frac{1}{2}$		1	$\frac{7}{8}$	$\frac{3}{8}$	$\frac{5}{16}$
	$4\frac{1}{4}$	$3\frac{3}{4}$	4			$1\frac{1}{4}$	$\frac{3}{8}$	$\frac{5}{16}$

Auf Anfrage lieferbar

# Taper Lock® -Spannbuchsen

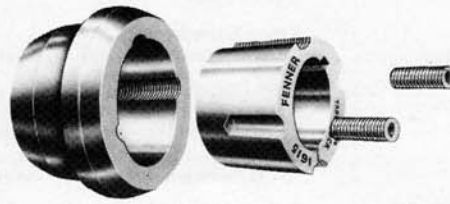
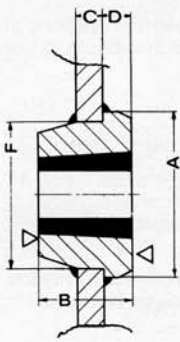


■ Patent Nr. 0045624

Buchsen-Nr.	Buchsenbohrung mm	Keilnut mm		Buchsenlänge mm	Gewicht ca. kg
		breit	tief		
1008	10	3	1,4	22,3	0,15
	11 12	4	1,8		bis
	14 16	5	2,3		
	18 19 20 22	6	2,8		
	24 25	8	1,3*		0,08
1108	10	3	1,4	22,3	0,18
	11 12	4	1,8		bis
	14 16	5	2,3		
	18 19 20 22	6	2,8		
	24 25	8	3,3		
1210	11 12	4	1,8	25,4	0,17
	14 16	5	2,3		bis
	18 19 20 22	6	2,8		
	24 25 28	8	3,3		
	30 32	10	3,3		0,30
1310	14 16	5	2,3	25,4	0,19
	18 19 20 22	6	2,8		bis
	24 25 28 30	8	3,3		
	32	10	3,3		
	35	10	1,3*		0,33
1610	14 15 16	5	2,3	25,4	0,42
	18 19 20 22	6	2,8		bis
	24 25 28 30	8	3,3		
	32 35 38	10	3,3		
	40 42	12	3,3		0,20
1615	14 16	5	2,3	38,1	0,60
	18 19 20 22	6	2,8		bis
	24 25 28 30	8	3,3		
	32 35 38	10	3,3		
	40 42	12	1,3*		0,25
2012	14 16	5	2,3	31,8	0,80
	18 19 20 22	6	2,8		bis
	24 25 28 30	8	3,3		
	32 35 38	10	3,3		
	40 42	12	3,3		
2517	16	5	2,3	44,5	1,7
	18 19 20 22	6	2,8		bis
	24 25 28 30	8	3,3		
	32 35 38	10	3,3		
	40 42	12	3,3		
3020	25 28 30	8	3,3	50,8	2,8
	32 35 38	10	3,3		bis
	40 42	12	3,3		
	45 48 50	14	3,8		
	55	16	4,3		
3030	35 38	10	3,3	76,2	4,0
	40 42	12	3,3		bis
	45 48 50	14	3,8		
	55	16	4,3		
	60 65	18	4,4		
6050	70 75	20	4,9		2,1

\* Bohrung mit Flachnut

Buchsen-Nr.	Buchsenbohrung mm	Keilnut mm		Buchsenlänge mm	Gewicht ca. kg	
		breit	tief			
3525	35 38	10	3,3	64	5,5	
	40 42	12	3,3		bis	
	45 48 50	14	3,8			
	55	16	4,3			
	60 65	18	4,4			
3535	70 75	20	4,9	88,9	bis	
	80 85	22	5,4			
	90 95	25	5,4			
	100	28	4,4*		1,8	
4030	35 38	10	3,3	76	6,6	
	40 42	12	3,3		bis	
	45 48 50	14	3,8			
	55	16	4,3			
	60 65	18	4,4			
4040	70 75	20	4,9	101,6	bis	
	80 85	22	5,4			
	90 95	25	5,4			
	100 105 110	28	6,4			
	115	32	5,4*		4,2	
4535	40 42	12	3,3	89	10,1	
	45 48 50	14	3,8		bis	
	55	16	4,3			
	60 65	18	4,4			
	70 75	20	4,9			
4545	80 85	22	5,4	114,3	5,2	
	90 95	25	5,4		bis	
	100 105 110	28	6,4			
	115 120 125	32	7,4			
5040	55	16	4,3	102	10,7	
	60 65	18	4,4		bis	
	70 75	20	4,9			
	80 85	22	5,4			
	90 95	25	5,4			
5050	100 105 110	28	6,4	127	7,4	
	115 120 125	32	7,4		bis	
6050	70 75	20	4,9	127	15,2	
	80 85	22	5,4		bis	
	90 95	25	5,4			
	100 105 110	28	6,4			
	115 120 125	32	7,4		9,2	
7060	152 max	Auf Anfrage				
8065	178 max					
10085	200 max					
	254 max					

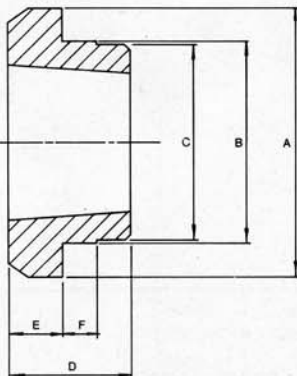


Die Einschweißnabe ist ein Konstruktionselement, welches beim Bau von Fördertrommeln viele Vorteile bringt. Zum Anschweißen von Kettenradscheiben, Hebeln, Kurvenscheiben u. a. Teilen eignet sich die Einschweißnabe ebenfalls hervorragend. Sie ist aus gut schweißbarem Stahl gefertigt. Einschweißen der Nabe: Taper-Lock-Buchse mit einem Wellenstück vorgespannt einsetzen und Nabe dann an gegenüberliegenden Stellen heften und fertig schweißen.

## SERIE WM

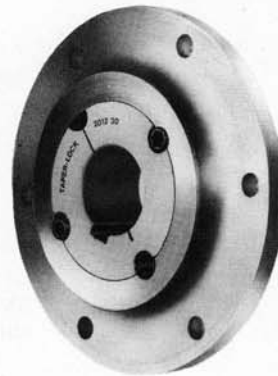
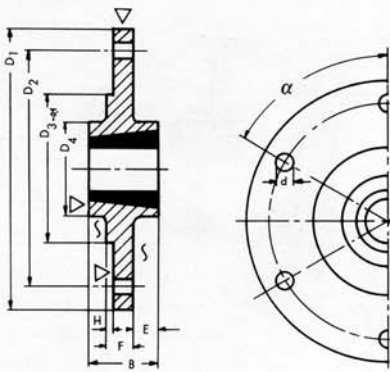
Type	Taper Lock® Buchse	A mm	B mm	C mm	D mm	F <sub>HS</sub> mm	Gewicht ca. kg
WM 12	1210	70	25	10	9	60	0,3
WM 16	1615	83	38	11	16	70	0,6
WM 20	2012	95	32	12	12	90	0,8
WM 25	2517	127	44	13	19	110	1,8
WM 30	3030	152	76	19	25	130	3,5
WM 35	3535	184	89	25	32	155	6,4
WM 40	4040	225	102	32	32	195	13,8
WM 45	4545	254	114	38	38	220	19,5
WM 50	5050	276	127	38	38	242	25,2

WM 60  
WM 70  
WM 80 auf Anfrage  
WM 100



## Serie WH

Type	Taper Lock® Buchse	A	B	C	D	E	F
WH12	1210	70	65	64,5	25	9	10
WH16-1	1610	80	75	74,5	25	9	10
WH20	2012	95	90	89,5	32	12	12
WH25	2517	115	110	109,5	44	19	15
WH30-2	3020	145	140	139,5	50	20	15
WH35	3525	190	180	179,5	65	25	25
WH40	4040	200	190	189,5	101	32	30
WH45	4545	210	200	199,5	114	40	30
WH50	5050	230	220	219,5	127	40	35



Die Anschraubnabe in Verbindung mit der Taper-Lock-Buchse eignet sich zur schnellen und einfachen Befestigung von Lüfterrädern, Steuerscheiben und ähnlichen Teilen auf Wellen. Sie kann insbesondere auch dort eingesetzt werden, wo nicht geschweißt werden darf und somit eine Einschweißnabe nicht eingesetzt werden kann.

Mit den von uns lagermäßig geführten Anschraubnaben kann ein Wellendurchmesserbereich von 11 bis 75 mm erfaßt werden.

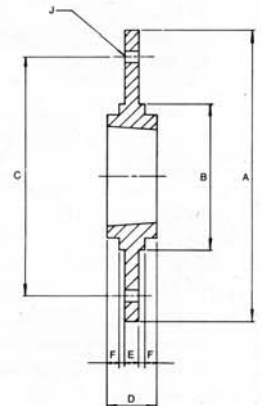
Type	Taper Lock® Buchse	D1 mm	D2 mm	D3 mm	D4 mm	B mm	E mm	F mm	H mm			Gewicht ca. kg
SM 12	1210	180	135	90	75	25	6,75	11,5	2,5	7,5	60	1,9
SM 16	1615	200	150	110	85	38	12,75	12,5	2,5	7,5	60	2,8
SM 20	2012	270	190	140	110	32	9,25	13,5	2,5	9,5	60	4,9
SM 25	2517	340	240	170	125	45	14,75	14,5	2,5	11,5	45	8,8
SM 30-1	3020	430	300	220	160	51	16,25	18,5	2,5	13,5	45	19,2
SM 30-2	3020	485	340	250	160	51	15,75	19,5	2,5	13,5	45	26,0

\* ohne Spannbuchse

Sonder-Ausführungen und Taper-Lock-Bohrung umgekehrt sind auch lieferbar – bitte Anfragen.

## Allseitig bearbeitete Anschraubnaben

Type	Taper Lock® Buchse	A	B	C	D	E	F	J
SM 12	1210	180	90	135	25	6,5	2,5	6 × 7,5
SM 16	1615	200	110	150	38	7,5	2,5	6 × 7,5
SM 20	2012	270	140	190	32	8,5	2,5	6 × 9,5
SM 25	2517	340	170	240	45	9,5	2,5	8 × 11,5
SM 30-1	3020	430	220	300	51	13,5	2,5	8 × 13,5
SM 30-2	3020	485	250	340	51	13,5	2,5	8 × 13,5



## Stahl-Anschraubnaben

Naben-typ	Einschweiß-nabe	TL Buchse Nr.	Gewicht kg	A	B	C	D <sub>1</sub>	D <sub>2</sub>	D <sub>3</sub>	D <sub>4</sub>	D <sub>5</sub>	E	F	G
SM12S	WM 12	1210	2,0	9	25	4	180	60	90	73	58	9	12	12
SM16S	WM 16	1615	2,5	16	38	9	200	70	110	83	68	10	13	19
SM20S	WM 25	2517	6,0	19	44	11	270	110	140	127	108	11	14	22
SM25S	WM 25	2517	9,2	19	44	10	340	110	170	127	108	12	15	22
SM50-1S	WM 30	3030	20,0	25	76	32	430	130	220	152	125	15	19	47
SM30-2S	WM 30	3030	25,0	25	76	31	485	130	250	152	125	15	20	46
SM50S	WM 30	3030	28,0	25	76	26	500	130	270	152	125	20	25	46
SM63S	WM 30	3030	40,0	25	76	26	630	130	270	152	125	20	25	46
SM75S	WM 40	4040	94,0	32	102	35	750	195	320	225	187	25	35	60
SM90S	WM 150	5050	125,0	38	127	54	900	242	380	276	228	25	35	79

